

# I-45 マトリックス法による曲線立体トラス橋の構造特性について

北海道大学 正員 工博 渡辺 昇  
 " 正員 金子 孝吉  
 " 学生員 ○高野 雄國

## 1. まえがき

近年道路の急速な発展に伴い、橋梁の架設位置が道路の一部において路線の形状によって定まり、曲線橋の建設が多くなってきている。しかし多くの多くは板橋、または、箱橋であり、トラスの曲線橋は余り見かけない。東名高速道路の酒田川橋はトラスではあるが、半径方向に数箇所で折り曲げた型である。

本研究においては、曲線半径間立体トラス橋について、主構トラスの弦材を各パネルごとに折り曲げたものを対象としてマトリックス法で解析し、半径の変化及び中間対傾構の有無によって、たわみ及び軸力がどのように変化するかを調べたものである。

なお橋の平面形はいずれも扇形である。

## 2. 対象としたトラス

本研究で対象としたトラスは図-1及び図-2に示すところのフット型立体曲線扇形トラス橋である。上下横構はダブルワーレン型である。

また、内側円弧長は何れも  $\lambda = 75\text{m}$  で主構間隔は  $b = 7.0\text{m}$  に固定し半径を変化させた。対傾構について次の A), B) 2 ケースを考えた。

A) 対傾構が両端にのみ置かれた場合(図-1)

B) 対傾構が各パネルごとに置かれた場合(図-2)

$$\text{内側格間長 } \lambda = 7.5(\text{m})$$

$$\text{半径方向主構間隔 } b = 7.0(\text{m})$$

$$\text{構高 } H = 7.5(\text{m})$$

$$\text{内側橋長 } \ell = 75(\text{m})$$

$$\text{内側主構半径 } R = 50, 70, 80, 90, 100, 110, 120, \\ 130, 140, 150, 175(\text{m})$$

$$\text{断面積 上・下弦材, 端垂直材, 端対傾構とも } 150(\text{cm}^2) \\ \text{斜材, 上・下横構, 中間対傾構とも } 75(\text{cm}^2)$$

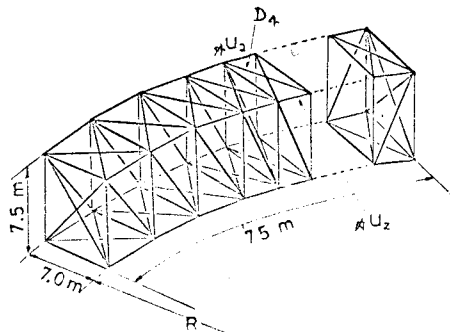


図-1 中間対傾構のない場合

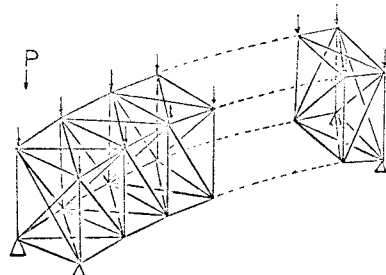


図-2 中間対傾構のある場合で荷重状態

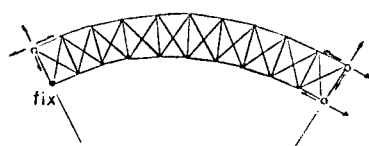


図-3 支承状態

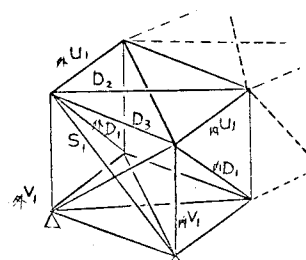


図-4 部材名

ここでは、一般的傾向の把握を目的とするので断面積は  $150 \text{ cm}^2$  と  $75 \text{ cm}^2$  に統一した。また、内側主構造の半径  $r_i$  ( $A$ )、( $B$ ) 両方とも上記の  $50 \text{ m}$  から  $175 \text{ m}$  迄の 11 種類について計算した。支承条件は図-3 に示す通りで矢印の向きに可動する。

### 3. 計算方法の概要

計算は直接剛性法による。周知の通り図-5 にあるような部材の剛性マトリックスは、 $x-y-z$  座標で  $x$  軸を部材軸とすれば

$$K = \frac{AE}{L} \begin{bmatrix} 1 & & & \\ 0 & 0 & & \\ 0 & 0 & 0 & \text{SYM.} \\ -1 & 0 & 0 & 1 \\ 0 & 0 & 0 & 0 \\ 0 & 0 & 0 & 0 \end{bmatrix} \quad (1)$$

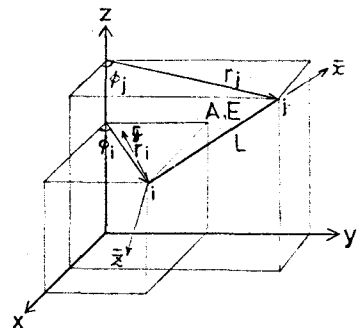


図-5

構造物の基準座標である  $x-y-z$  軸に変換すると  
とき、 $x$  軸、 $y$  軸、 $z$  軸の  $x$  軸に対する方向余弦  
をそれぞれ  $\lambda$ 、 $\mu$ 、 $\nu$  とすると。

$$K = \frac{AE}{L} \begin{bmatrix} \lambda^2 & & & \\ \lambda\mu & \mu^2 & & \text{SYM.} \\ \lambda\nu & \mu\nu & \nu^2 & \\ -\lambda^2 & -\lambda\mu & -\lambda\nu & \lambda^2 \\ -\lambda\mu & -\mu^2 & -\mu\nu & \lambda\mu \mu^2 \\ -\lambda\nu & -\mu\nu & -\nu^2 & \lambda\nu \mu\nu \nu^2 \end{bmatrix} \quad (2)$$

単一部材の剛性マトリックス ( $K$ ) を各部材について重ね合せて構造物全体の剛性マトリックスを作りこれを  $K$  とし、節点荷重ベクトルを  $X$ 、これが対応する節点変位ベクトルを  $u$  とすれば剛性方程式は  $X = Ku$   $(3)$

また節点  $i-j$  からの部材軸力は

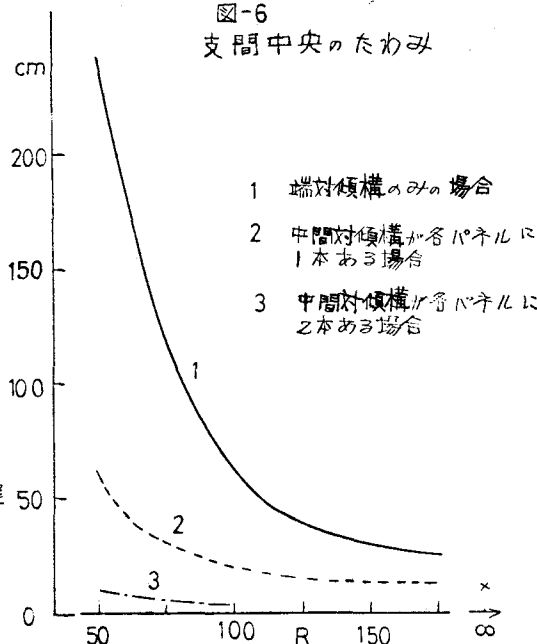
$$S_{ij} = \left( \frac{AE}{L} \right)_{ij} [\lambda \mu \nu]_{ij} \begin{bmatrix} u_f - u_i \\ v_f - v_i \\ w_f - w_i \end{bmatrix} \quad (4)$$

式 (3)、(4) より変化させた式から未知変位及ぶ軸力を求まる。

一方、円筒座標系で図-5 に示す任意部材  $i-j$  のみ方向のベクトルの  $i$  節の半径、接線及び  $x$  軸方向に対する方向余弦は次の値をとる。

$$\text{半径方向 } \lambda_{ij} = \{ r_f \cos(\varphi_f - \varphi_i) - r_i \} / l_{ij}$$

図-6  
支間中央のたわみ



- 1 端対傾構のみの場合
- 2 中間対傾構が各 1 ベネルに 1 本ある場合
- 3 中間対傾構が各 1 ベネルに 2 本ある場合

$$\text{接線方向} \quad \mu_{ij} = r_j \sin(\varphi_j - \varphi_i) / l_{ij}$$

$$\text{反転方向} \quad \nu_{ij} = (z_j - z_i) / l_{ij}$$

同じく、 $\nu$  方向ベクトルの実部におけるそれとの方向余弦は

$$\lambda_{ij} = -\{r_j - r_i \cos(\varphi_j - \varphi_i)\} / l_{ij}$$

$$\text{接線方向} \quad M_{ij} = -r_i \sin(\varphi_j - \varphi_i) / l_{ij}$$

$$\text{反転方向} \quad D_{ij} = -(z_j - z_i) / l_{ij}$$

故に、 $i$  部分の 150

$i$  実部の軸力は

$$S_{ij} = \frac{EA_{ij}}{l_{ij}} (-\mu_{ij} \lambda_{ij} - \nu_{ij} M_{ij})$$

$$-\nu_{ij} \mu_{ij} - \nu_{ij} D_{ij}$$

$$-\nu_{ij} M_{ij})$$

と見て

$$d r_j = u_j$$

$$d r_i = u_i$$

$$r_j d \varphi_j = v_j$$

$$r_i d \varphi_i = v_i$$

#### 4. 計算結果

計算 1 の結果

は図-7 から図

-18 である。

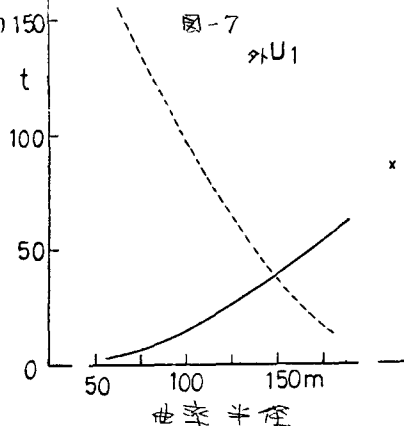


図-7  
外U1

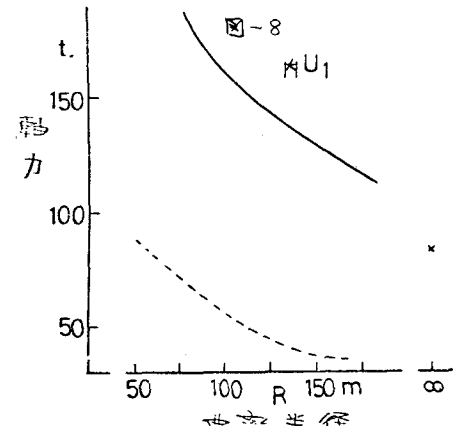


図-8  
内U1

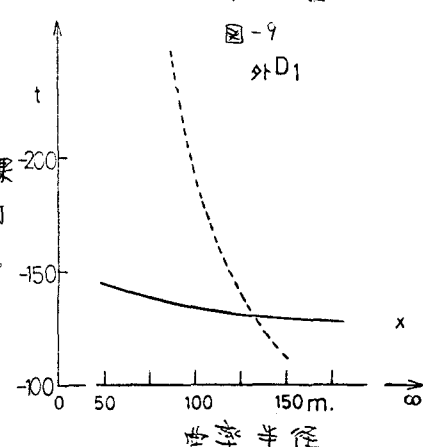


図-9  
外D1

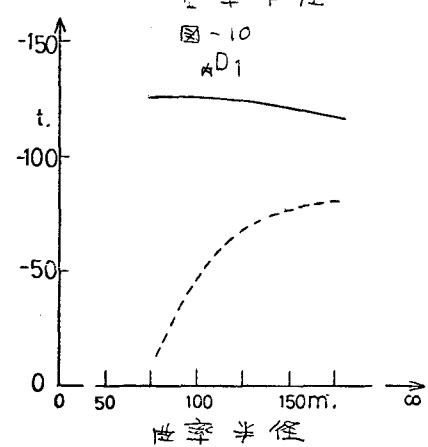


図-10  
内D1

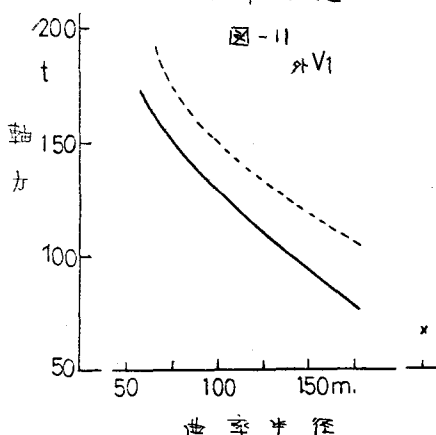


図-11  
外V1

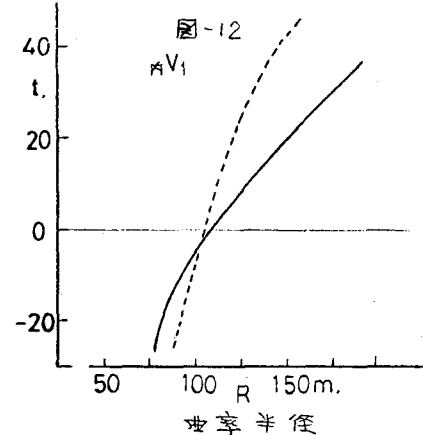
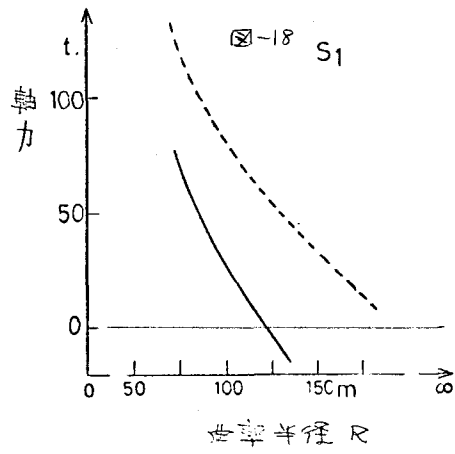
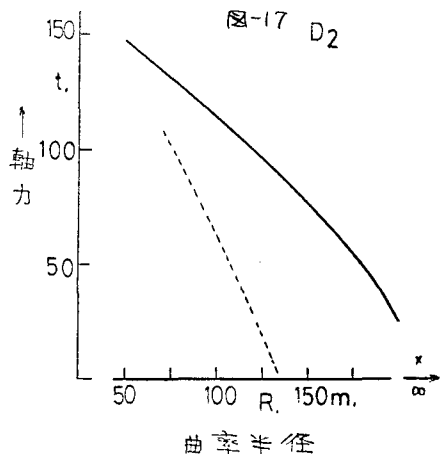
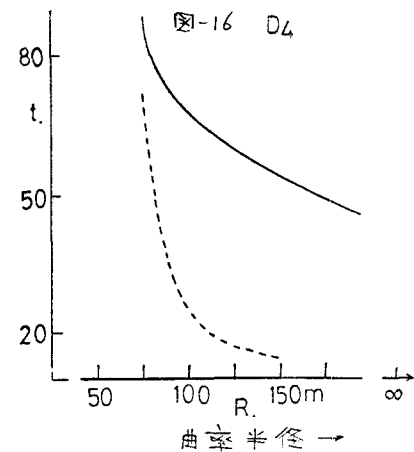
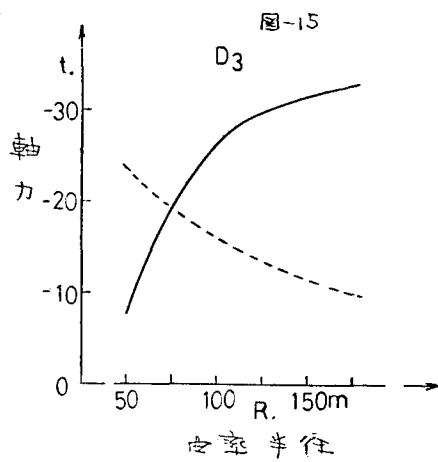
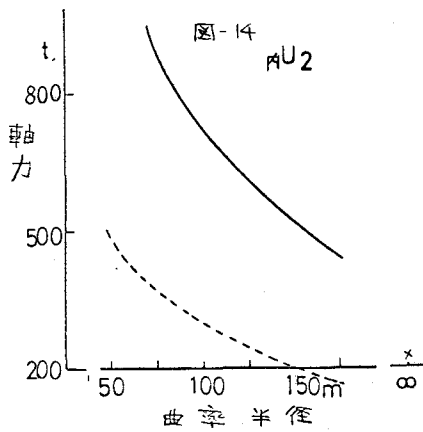
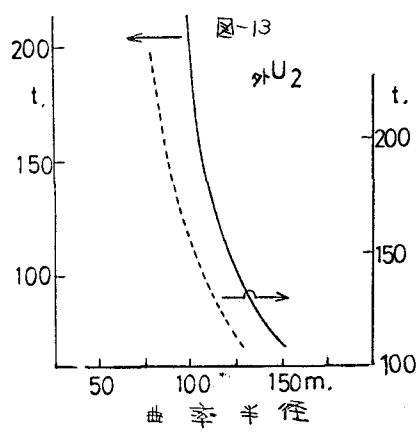


図-12  
内V1



了承、この計算には日野英彦（石川島播磨重工 K.K.）の御協力を得、ここに謝意を表します。